



اهمیت شناخت خصوصیات ژئومورفولوژیکی، سنگ‌شناسی و فیزیکی سنج‌های کربناته، جهت ارزیابی توسعه کارست در منطقه نهادن

محمدحسین قبادی^{*}، یاسین عبدی‌لر^۱ و یزدان محمدی^۲

۱) دانشیار گروه زمین‌شناسی دانشگاه بوعالی سینا، همدان، amirghobadi@yahoo.com

۲) دانشجوی دکتری گروه زمین‌شناسی دانشگاه بوعالی سینا، همدان، yasin.abdi@ymail.com

^{*} عهده‌دار مکاتبات

دریافت: ۹۰/۸/۶ دریافت اصلاح شده: ۹۰/۱۱/۳؛ پذیرش: ۹۰/۱۲/۳؛ قابل دسترس در تارنما: ۹۱/۱/۳۱

چکیده

هدف از انجام این پژوهش، شناسایی پدیده‌های ژئومورفولوژیکی کارست، شناخت خصوصیات سنگ‌شناسی و ویژگی‌های فیزیکی سنگ‌های کربناته به منظور ارزیابی توسعه کارست در منطقه نهادن می‌باشد. بر اساس بازدیدهای صحرایی، واحدهای کربناته در ناحیه مورد مطالعه، گسترش زیادی دارند. ساختارهای تکتونیکی (شکستگی‌ها و گسل‌ها) فراوان و پدیده‌های ژئومورفولوژیکی کارست نظیر دولین، کارن، پونور، غار و چشمه‌های کارستی، در ناحیه به خوبی قابل مشاهده هستند. با توجه به مطالعه مقاطع نازک سنگ و بر اساس رده‌بندی فولک، سنگ‌های آهکی منطقه از نوع بایوکلاست پکستان دولومیتی شده و مادستون آهکی هستند. با توجه به نتایج آزمایشات ایکس آر اف (XRF)، درصد اکسید کلسیم برای هر سه تیپ سنگ، بیشتر از ۵۰٪ دارای کلسیت، کوارتز و دولومیت می‌باشد. هر چند نمونه‌های سنگ بکر از دانسته خشک نسبتاً بالا و تخلخل پائینی برخوردار می‌باشند ولی ترکیب مناسب سنگ‌شناسی، ناپیوستگی‌های متعدد، تخلخل ثانویه و فراوانی پدیده‌های ژئومورفولوژیکی کارست در واحدهای کربناته، نشان‌دهنده‌ی توسعه کارست در منطقه می‌باشد.

واژه‌های کلیدی: گسل، دولین، کارن، پونور، غار، چشمه‌های کارستی.

۱- مقدمه

سرعت و شدت بیشتری رخ می‌دهد، اما این پدیده می‌تواند از طریق توسعه درز و شکاف‌ها به زیر سطح انتقال یافته و باعث تشکیل کارست زیرسطحی شود. مشاهدات ژئومورفولوژیکی در مقیاس کوچک و بزرگ به همراه بررسی‌های هیدرولوژیکی و هیدروشیمیایی، کلیدی برای دستیابی به اطلاعاتی در مورد چگونگی شکل گیری یک سیستم کارست زیرسطحی می‌باشد (Veni 1999, Ford & Williams 2007). میان ژئومورفولوژی کارست و تکامل آن ارتباط نزدیکی وجود دارد، به طوری که فراوانی و گسترش پدیده‌های

نتیجه عمل کارستی شدن، ایجاد ژئومورفولوژی ویژه است که مناطق کارستی را از نواحی غیر کارستی جدا می‌کند. پدیده‌های ژئومورفولوژی ناشی از کارستی شدن سنگ‌ها در سطح و زیر سطح، کلیدی برای درک تکامل کارست در یک منطقه می‌باشند (Waele et al. 2009). انحلال سنگ‌ها، پدیده‌های مورفولوژیکی خاصی را با ابعاد کمتر از یک میلیمتر (میکروکارن‌های کوچک) تا بیش از چندین کیلومتر (پولیه‌ها) ایجاد می‌نماید. به طور کلی، انحلال در سطح، با

مورفولوژیکی در تکامل این پدیده، در منطقه کارستی گرین در شهرستان نهادوند می‌باشد.

۲- روش تحقیق

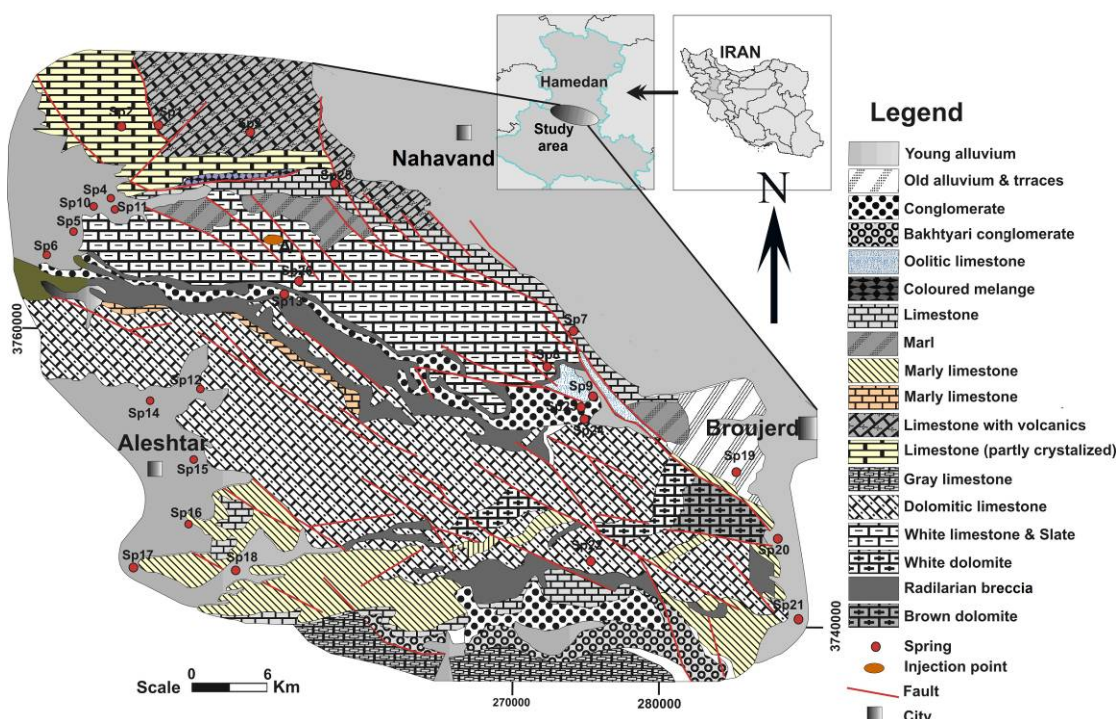
در این پژوهش، پس از انجام بازدیدهای صحرایی از منطقه پدیده‌های ژئومورفولوژی کارست، گسل‌ها و شکستگی‌ها شناسایی و مشخصات آنها اندازه‌گیری شد. نمونه برداری از واحدهای کربناته انجام شد، سپس نمونه‌ها به آزمایشگاه زمین‌شناسی مهندسی و ژئوتکنیک دانشگاه بوعالی سینا ارسال شدند. در ادامه، به منظور شناخت خصوصیات فیزیکی و شیمیایی سنگ‌های کربناته و نقش آنها در توسعه و گسترش کارست، مطالعات آزمایشگاهی شامل تهیه مقطع نازک سنگ و انجام آزمایش‌های فیزیکی مطابق با استاندارد (International Society for Rock Mechanics, ISRM) انجام شد.

۲- بررسی‌های صحرایی ۲-۱- زمین‌شناسی

محدوده مورد مطالعه در مرز زون سنتنچ- سیرجان و زاگرس مرتفع (کمریند تراستی زاگرس) قرار داشته و همبُری بیش از ۹۰ درصد از واحدهای نتیجه گشلش یا روراندگی می‌باشد. عملکرد این گسل‌ها باعث بروزند واحدهای مربوط به دوران‌های دوم و سوم زمین‌شناسی (تریاس- ژوراسیک تا کواترنر) در منطقه شده است (تصویر ۱).

مورفولوژی کارست نشان‌دهنده گسترش کارست در ناحیه می‌باشد (کریمی ۱۳۸۹، قبادی ۱۳۸۸ و ۲۰۰۹). به عبارت دیگر می‌توان گفت که وجود و یا عدم وجود هر یک از اشکال کارستی در یک منطقه می‌تواند راهنمایی برای شناخت بهتر و بیشتر سیستم کارستی منطقه باشد. به عنوان مثال؛ پولیه‌ها یا پولژه‌ها، نماد نواحی کارستی هستند که حضور آنها می‌تواند بیانگر گسترش کارست کامل در یک منطقه باشد (Cooper et al. 2011).

در مناطقی که کارست به صورت کامل توسعه یافته است، اشکال سطحی کارست مانند دولین‌ها و اشکال زیرسطحی مثل غارها گسترش دارند و بالعکس در مناطقی که کارست به صورت ناقص یافت می‌شود، اشکال ناشی از انحلال مثل فروچاله و پولیه مشاهده نمی‌شوند (Heidari et al. 2011). کوه گرین از رشته کوه‌های مهم غرب ایران است که بیشترین مساحت آن در شمال استان لرستان و بخشی نیز در استان‌های همدان و کرمانشاه قرار دارد. منطقه مورد مطالعه از غرب به دلفان، از شمال به شهرستان نهادوند، از شرق به شهرستان بروجرد و از جنوب به شهرستان الشتر محدود می‌شود (تصویر ۱). سراب‌های فراوانی نظری گاماسیاب، کهمان، گیان و ونایی در پای این رشته کوه وجود دارند که آب آشامیدنی و آب مورد نیاز کشاورزی دشت سیلانخور، نهادوند، نورآباد و الشتر را تأمین می‌کنند. رودهای دز و گاماسب نیز از این چشممه‌ها تغذیه می‌شوند (سلیمی ۱۳۸۵ و موسیوند ۱۳۸۵). هدف از این پژوهش، ارزیابی وضعیت گسترش کارست و نقش لیتولوژی، ویژگی‌های فیزیکی و پدیده‌های



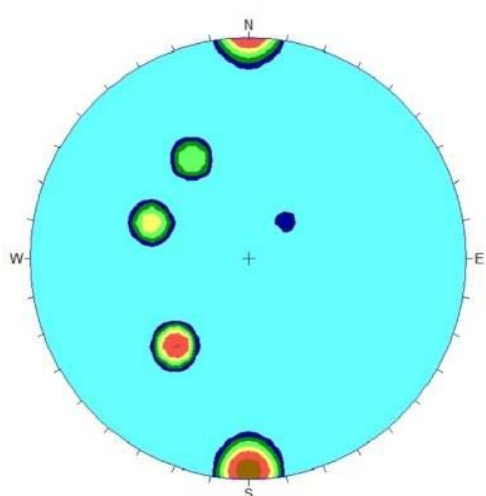
تصویر ۱- نقشه زمین‌شناسی و موقعیت محدوده مطالعه (وزارت نیرو ۱۳۸۴)

رسوبی نیمه نفوذپذیر منطقه، آمیزه‌ای آذرآواری است که در آن سنگ‌های آهکی بلورین کرتاسه پایینی و قطعات سنگ‌های آتشفسانی با ترکیب داسیت و آندزیت وجود دارد. در این منطقه، تنابی از نهشته‌های کنگلومرا با میان لایه‌های مارن و رس نیز مشاهده شده است (موسیوند ۱۳۸۵).

مهم ترین واحد نفوذناپذیر، رادیولاریت‌ها می‌باشند که عمدتاً در راستای گسله سراسری زاگرس پدیدار شده‌اند. یکی از واحدهای نفوذناپذیر، آمیزه رنگینی است که سنگ‌های تشکیل دهنده آن گابررو، هارزبورژیت و شیل‌های سیلیسی - رادیولاریتی می‌باشند، این واحد رخنمون چندانی در منطقه ندارد. مطالعات محلی نشان داد که منطقه مورد نظر به شدت تکتونیزه می‌باشد. گسل‌ها و سیستم‌های شکستگی متعددی توده‌های سنگی منطقه را قطع نموده که سازو کار آنها به طور عمدۀ فشاری می‌باشد. مهم‌ترین آنها گسل‌های گرین - گاماسیاب (GGBF) و گرین - کهمان (GKF) است.

در بازدیدهای صحرایی، ۱۳۸ درزه برداشت شد. براساس نمودار گلسربخی ترسیم شده (تصویر ۲)، پنج سیستم درزه در توده سنگ‌های آهکی منطقه مشاهده شد که دو سیستم درزه غالب امتداد شمال غربی - جنوب شرقی و تقریباً شرقی - غربی دارند. سیستم‌های شکستگی غالب عمدتاً عمودی و یا نزدیک به عمود هستند. مشاهدات صحرایی، گسترش کارست را در امتداد شکستگی‌های عمودی نشان داد.

بیش از ۹۰ درصد منطقه مورد مطالعه از سنگ‌های کربناته (ژوراسیک تا میوسن) تشکیل شده است. این سنگ‌ها به دلیل عملکرد شدید تکتونیکی، بشدت خرد شده و دارای تخلخل ثانویه بالایی می‌باشند. واحدهای دولومیتی و آهکی ژوراسیک پایینی بیشترین گسترش را در منطقه دارند (موسیوند ۱۳۸۵). این دو واحد توسط کمرنندی از رادیولاریت از یکدیگر جدا شده‌اند. دامنه شمالی کوه گرین به طور کلی از سنگ آهک‌های اولیگوسن - میوسن تشکیل شده است. این OML واحدها شامل دو بخش (OML) و (OMm) می‌باشد. بخش OML عمدتاً از دولومیت‌های ضخیم لایه خاکستری، سنگ آهک و میان‌لایه‌های سنگ آهک مارنی و مارن تشکیل شده است. بخش OMm بالاترین واحد لیتولوژی اولیگوسن - میوسن می‌باشد که دارای لیتولوژی آهکی، آهک مارنی با میان لایه‌های ماسه سنگی است. این بخش بیشتر از ۱۰۰۰ متر ضخامت دارد و در راستای گسله زاگرس در کنار سنگ‌های رسوی - آتشفسانی کرتاسه قرار گرفته است (تصویر ۱ و ۱۸). دایک‌های آپلیتی، گابررو و آندزیت‌های پیروکلاستیک با سن تریاس از جمله واحدهای نیمه تراوا در منطقه بوده که رخنمون زیادی ندارند و به دلیل گسترش شکستگی در آنها، تا حدودی تراوا محاسب می‌گردند. همچنین می‌توان به لایه‌هایی از سنگ‌های آذرین دگرگون شده با ترکیب بازالتی به همراه میان لایه‌هایی از مرمر اسلیتی که رخنمون‌های قابل ملاحظه‌ای دارند، اشاره کرد. از دیگر واحدهای



تصویر ۲- نمودار گلسربخی و کنتور درزه‌های منطقه

پدیده‌های کارستی چه به صورت سطحی و چه زیر سطحی از گسترش قابل توجهی برخوردار می‌باشند. بر اساس مشاهدات و بررسی‌های صورت گرفته، بیشترین پدیده‌های سطحی کارست منطقه کارن‌ها می‌باشند که در انواع میکرو کارن‌ها و رونل کارن‌ها یافت می‌شوند. کارن‌ها به طور کلی در راستای مه درزه‌ها به وجود آمده‌اند

۴-۱-۲- پدیده‌های ژئومورفولوژی کارست

چشم‌اندازهای کارستی، پدیده‌های زمین‌شناسی می‌باشند که به صورت سطحی و زیرسطحی توسعه پیدا می‌کنند. به منظور یافتن اشکال سطحی و زیرسطحی کارست، منطقه مورد مطالعه طی چندین مرحله مورد پیمایش قرار گرفت. بررسی‌ها نشان داد که اشکال و

این پدیده‌ها به نام چال و چاه خوانده می‌شود و در طول سال به استثناء فصول پر باران، آبراهه ویژه‌ای به این چال‌های انحلالی نمی‌رسد (تصویر ۴-ب). از دیگر پدیده‌های کارستی موجود در منطقه، پونورها یا چاه‌های مکنده می‌باشدند که در ارتفاعات مربوط به نوار بالایی کوه گرین قابل مشاهده اند. این گونه پدیده‌ها در گویش محلی چالاب خوانده می‌شوند چون جریان آب (برفاب) در آنها زهکشی می‌شود. بزرگ ترین آنها ژرفای ۱۵ متری و دهانه‌ای به عرض $2/5$ تا ۳ متر دارد، شکاف بسیار مشخص و فراخ شده‌ای در دیواره پونور دیده می‌شود که انحلال سنگ آهک از طریق آن صورت گرفته است (تصویر ۴-الف).

که با بیش از یک متر عمق از پدیده‌های عمومی در سنگ آهک کارستی می‌باشدند (تصویر ۳-الف). به دلیل وجود لایه‌هایی با انحلال پذیری متفاوت و همچنین وجود ناخالصی در قسمت‌های مختلف لایه، پدیده‌هایی مانند میکروکارن و میکرو اسپیتیز کارن، در آهک‌های جنوب غرب ایران وجود دارد (کریمی ۱۳۸۹). در آهک‌های موجود در کوه گرین نیز میکرو اسپیتیز کارن‌ها قابل مشاهده می‌باشدند (تصویر ۳-ب). چاه‌های انحلالی در قسمت برہنه سنگ‌های آهکی دیده می‌شوند. به دلیل ریزش قطعه سنگ‌های کوچک و بزرگ از دیواره‌های چاه به درون آن، عمق واقعی چاه مشخص نبوده اما، عمق ظاهری (قسمت خالی مانده) آنها معمولاً از ۵ تا ۸ متر متغیر می‌باشد. در گویش محلی،

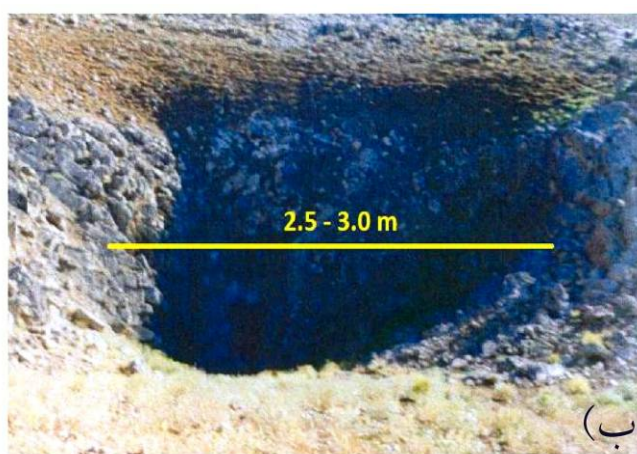


(ب)



(الف)

تصویر ۳- (الف) کارن‌های توسعه یافته، (ب) میکرو اسپیتیز کارن



(ب)



(الف)

تصویر ۴- (الف) نمایی از دهانه پونور ، (ب) نمایی از یک چاه انحلالی

دارند (تصویر ۵ ب). در محدوده مورد مطالعه، غارها نیز گسترش قابل توجهی را دارند که مهم‌ترین آنها، غار گاما‌سیاب است که در گذشته محل خروج چشم‌های کارستی گاما‌سیاب بوده است. این غار هم اکنون پنجره‌های کارستی، از دیگر پدیده‌های سطحی کارست در منطقه می‌باشدند که در محل تقاطع دسته درزه‌ها ایجاد شده‌اند (تصویر ۵-الف). حفرات انحلالی نیز گسترش فراوانی را در ناحیه مورد مطالعه

متوسط ۴ متر مکعب بروانیه در منطقه، بیانگر گسترش و توسعه آبخوان‌های کارستی می‌باشد. مهم‌ترین این چشمه‌های گسله، چشمه یا سراب گاماسیاب، چشمه کهمان و چشمه یا سراب گیان است

(تصویر ۷ الف و ب) که به ترتیب با گسل‌های گرین-گاماسیاب (GGBF) و گرین-کهمان (GKF) مرتبط هستند (تصویر ۸).

خشک است و دارای عرض ۲-۳ متر و ارتفاع حداقل ۶ متر می‌باشد که حفره‌های انحلالی به خوبی در آن قابل مشاهده می‌باشد (تصویر ۶).

لازم به ذکر است که غارها عمدتاً در سنگ آهک‌های توده‌ای که از ضخامت زیادی برخوردارند، تشکیل می‌شوند (Maurice et al. 2010). علاوه بر غارها، وجود چشمه‌های متعدد کارستی با آبده‌ی

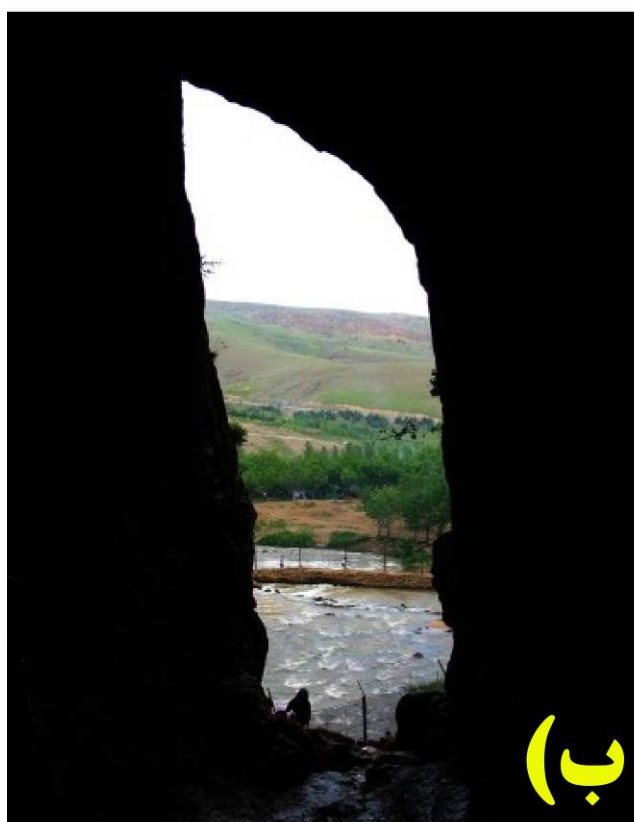


(ب)

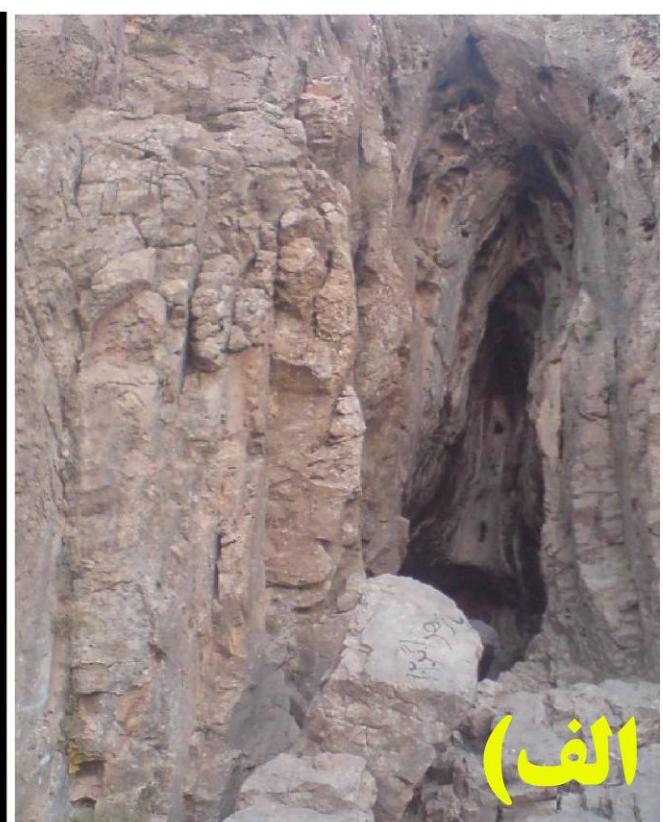


الف)

تصویر ۵- (الف) پنجه کارستی، (ب) حفرات انحلالی



ب)

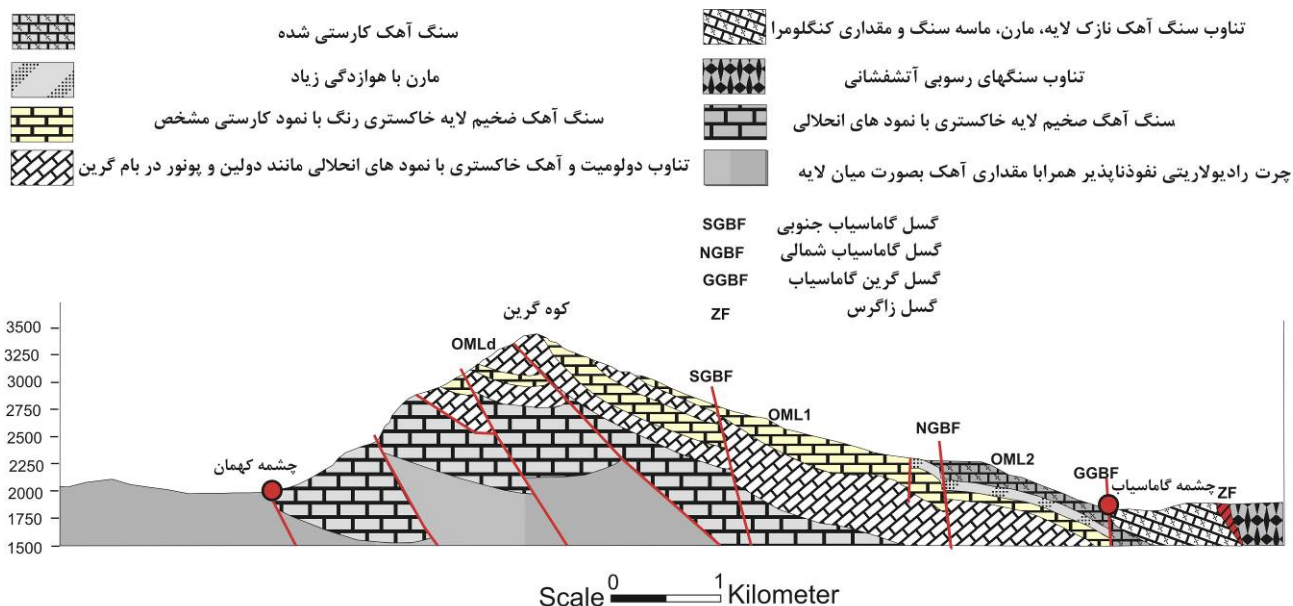


الف)

تصویر ۶- (الف) نمایی از دهانه غار گاماسیاب، (ب) نمایی از سراب گاماسیاب از درون غار گاماسیاب



تصویر ۷- (الف) نمایی از غار و سراب گاماسیاب، (ب) نمایی از سراب گیان



تصویر ۸- شکل شماتیک از نقش لیتوژئی و گسل‌ها در ناحه تشکیل چشمه‌های کارستی منطقه (وزارت نیرو ۱۳۸۴)

XRF آنالیز

آنالیز به روش فلورسانس اشعه ایکس (XRF: X-Ray Fluorescence) یکی از دقیق‌ترین روش‌ها برای تعیین ترکیب شیمیائی سنگ‌ها می‌باشد. نتایج حاصل از سنجش به صورت اکسید-های عناصر بیان می‌گردد. بالا بودن درصد اکسید کلسیم و پائین بودن درصد اکسید منیزیم به توسعه فرایند کارستی شدن کمک می‌کند (قبادی ۱۳۸۸). بنابراین با توجه به مطالعات صحرایی انجام شده و نبود تغییرات زیاد در خصوصیات ظاهری سنگ‌های آهکی منطقه، از هر واحد کربناته، ۱ نمونه برای ایکس آر اف (XRF) انتخاب گردید.

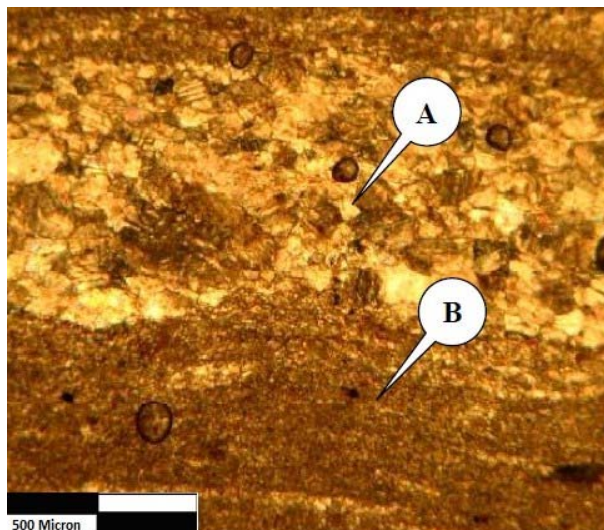
۲-۱- مطالعات آزمایشگاهی

۲-۱-۱- خصوصیات سنگ‌شناسی

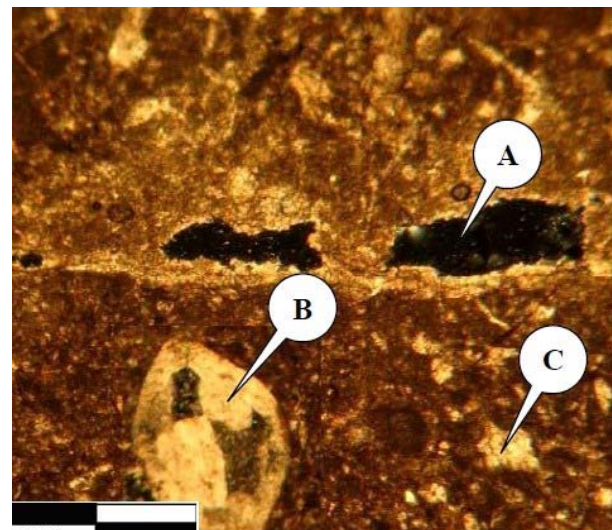
به منظور بررسی ترکیب سنگ‌شناسی و رده‌بندی سنگ‌های کربناته، از نمونه‌های انتخاب شده، مقطع نازک تهیه شد. با توجه به مطالعه مقاطع نازک و بر اساس رده بندی فولک (Folk 1959) نمونه‌های سنگ آهک سراب گاماسیاب با یوکلاست پکستون و یا یوکلاست پکستون دولومیتی و نمونه سنگ سراب گیان، مادستون آهکی می‌باشند. نتایج مربوط به مطالعه مقاطع نازک در جدول ۱ و تصویرهای ۹ تا ۱۴ ارائه شده است.

جدول ۱- نتایج مطالعه مقاطع نازک سنگ

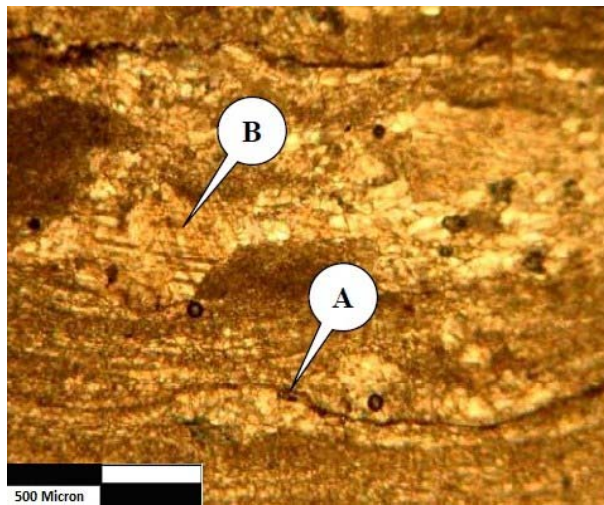
شماره نمونه	محل نمونه برداری	ذرات تشکیل دهنده	نام سنگ به روش فولک
Ga1	سراب گاماسیاب	بلورهای یوهدرال دولومیت، بلور کلسیت، فسیل میلیولید، جلبک قرمز	بایوکلاست پکستون دولومیتی شده
Ga2	سراب گاماسیاب	جلبک، فرامینیفر، استراکود، بلورهای کلسیت	بایوکلاست پکستون
Gy	سراب گیان	ذرات آهکی ریزدانه و گوشه دار، فسیل گلوبیزرینا	مادستون آهکی



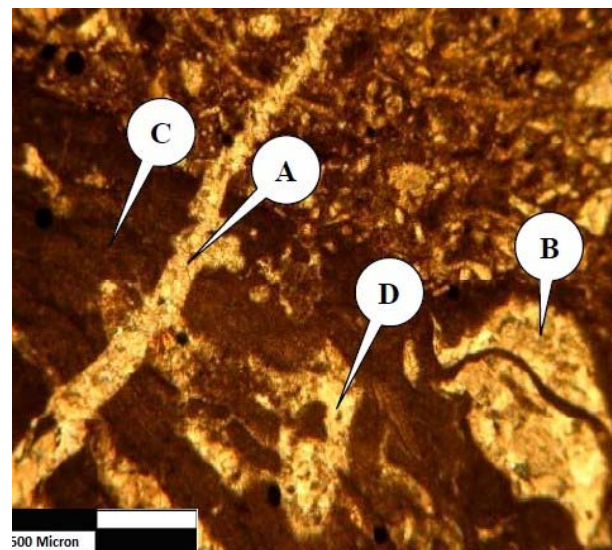
تصویر ۱۱- مقطع نازک نمونه Gy، A: سیمان اسپاری کلسیتی انهرال یا بی شکل، B: پوشش جلبکی (*Algal mat*) از جنس میکرایت که خاص محیط‌های بین جزرومی است.



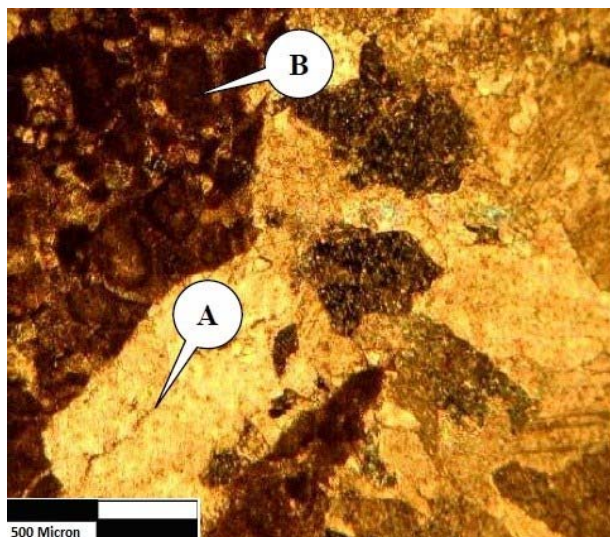
تصویر ۹- مقطع تهیه شده از نمونه Ga2، A: تخلخل حفره ای، B: فسیل استراکود که با سیمان قالبی موزائیکی کلسیتی پرشده است، C: تخلخل بین دانه‌ای که توسط سیمان کلسیتی پر شده است



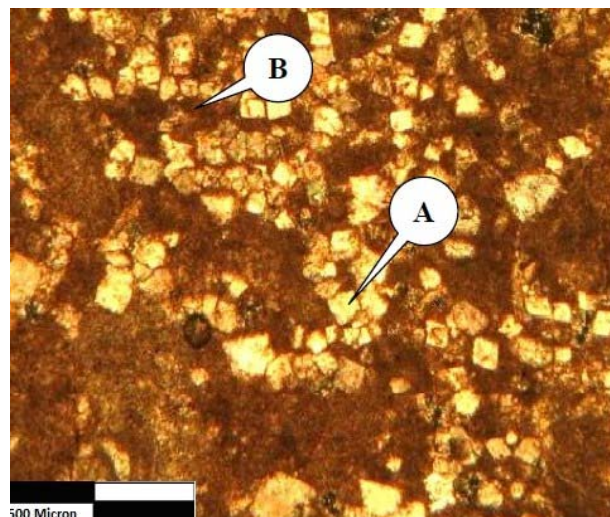
تصویر ۱۲- مقطع نازک نمونه Gy، A: رگچه انحلالی که در اثر تراکم شیمیایی ناشی از وزن طبقات فوقانی ایجاد شده است که با اکسید آهن پر شده است، B: سیمان اسپاری کلسیتی انهرال.



تصویر ۱۰- مقطع تهیه شده از نمونه Ga2، A: شکستگی تکتونیکی پر شده با سیمان کلسیتی، B: فسیل میوژیپسینا، C: جلبک قرمز، D: تخلخل بین دانه‌ای که توسط سیمان کلسیتی پرشده است.



تصویر ۱۴- مقطع نازک نمونه ۱، Ga1. A: سیمان کلستی موزائیکی بلوکی، B: پلت از جنس میکرایت که در محیط‌های کم انرژی تشکیل می‌شود.



تصویر ۱۳- مقطع نازک نمونه ۱، Ga1. A: بلورهای دولومیت شکل دار که مخصوص محیط تدفینی و نسبت Mg/Ca در آن افزایش یافته است، B: تخلخل بین بلوری و متن سنگ که میکرایتی شده است.

۲، نتایج آنالیز شیمیایی سنگ‌های کربناته، نشان‌دهنده‌ی درجه خلوص و قابلیت انحلال بالای این سنگ‌ها است. بنابراین شکل گیری پدیده‌های کارستی قابل پیش‌بینی می‌باشد.

با توجه به نتایج آنالیز ارائه شده در جدول ۲ ملاحظه می‌شود که در هر سه تیپ سنگ مورد مطالعه، میزان اکسید کلسیم بیشتر از ۵۰ درصد می‌باشد، اما میزان اکسید منیزیم به ترتیب برای نمونه‌های Ga2، Ga1 و Gy، معادل ۲/۴۷، ۰/۶۶ و ۱/۳۹ درصد می‌باشد. با توجه به جدول

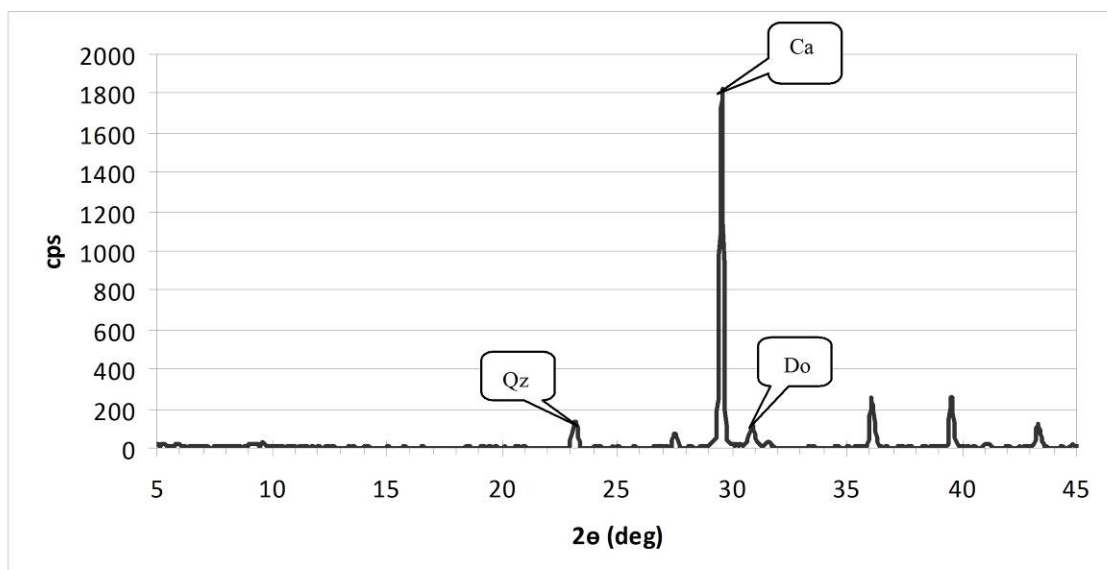
جدول ۲- نتایج آنالیز XRF نمونه‌های مورد مطالعه

شماره نمونه	نوع اکسید	Gy	Ga2	Ga1
	SiO_2	۲/۱۱	۰/۴۳	۱/۶۳
	Al_2O_3	۰/۸۸	۰/۰۹	۰/۱۴
	Fe_2O_3	۰/۳۸	۰/۰۳	۰/۲۱
	CaO	۵۲/۳۱	۵۴/۵۴	۵۱/۳۱
	Na_2O	۰/۱	۰/۰۷	۰/۰۶
	K_2O	۰/۱۷	۰/۰۱	۰/۲۴
	MgO	۱/۳۹	۰/۶۶	۲/۴۷
	S_3O_3	۰/۰۴	۰/۰۰۳	۰/۱۴
	L.O.I	۴۲/۶	۴۳/۶۶	۴۳/۴۶
	MnO	۰/۰۰۴	۰/۰۰۳	۰/۰۰۱

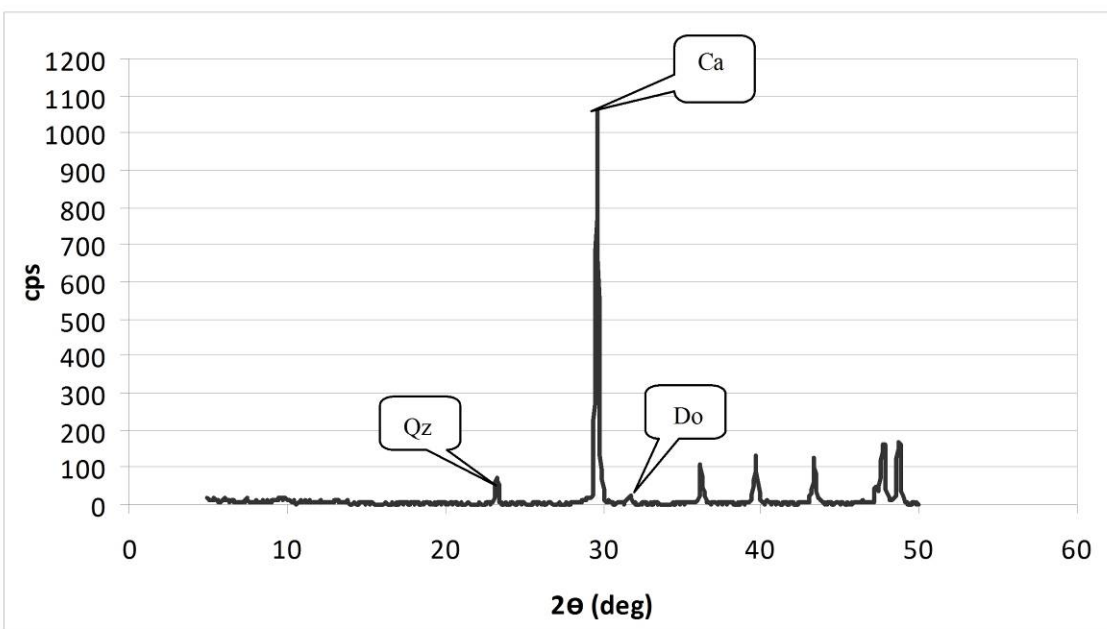
کرده و پودر مناسب تهیه شد. نتایج آنالیز XRD به صورت نمودار ارائه گردیده است (تصویرهای ۱۵، ۱۶ و ۱۷). با توجه به این نمودارها در تمامی نمونه‌ها، فراوان ترین کانی موجود در سنگ‌های کربناته، کانی کلسیت است که نشان‌دهنده اتحال پذیری زیاد سنگ‌ها می‌باشد. بنابراین نتایج این آنالیز، با نتایج مطالعات صحرایی (مبني بر توسعه و فراوانی اشکال کارستی در منطقه) و نتایج آنالیز XRF (مبني بر بالا بودن درصد اکسید کلسیم) مطابقت دارد.

آنالیز XRD

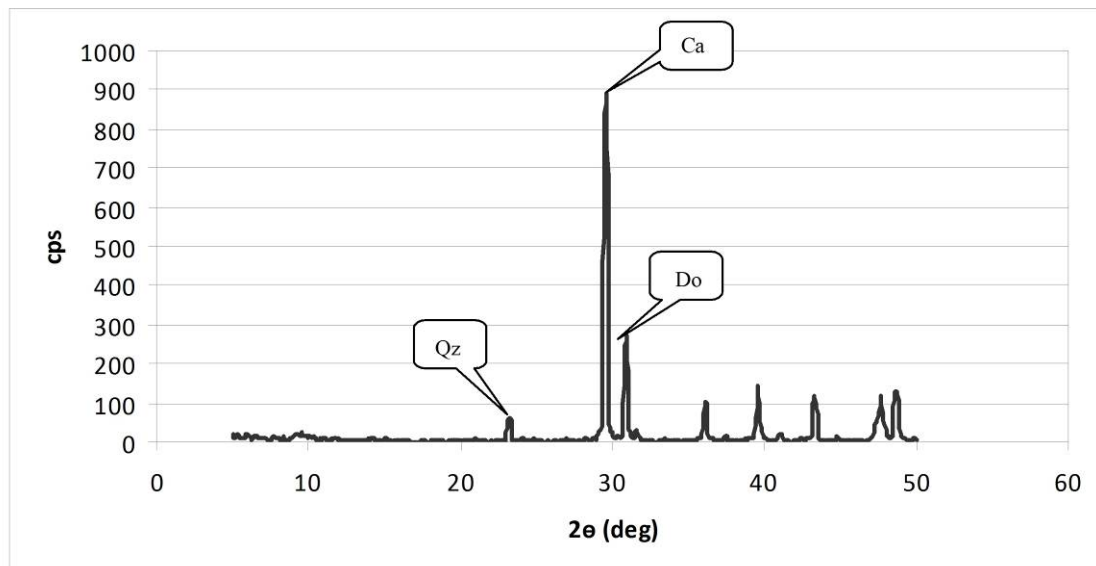
یکی از عوامل مهم جهت شناخت خصوصیات زمین‌شناسی مهندسی سنگ‌ها، تعیین مقدار و نوع کانی‌های رسی است. در این راستا بهترین روش جهت شناسائی کانی‌های مذکور، استفاده از پراش اشعه ایکس (XRD: X-Ray Diffraction) از هر واحد کربناته، ۱ نمونه انتخاب گردید. پس از خرد کردن نمونه‌ها و عبور دادن آن‌ها از الک شماره ۲۰۰، برای رسیدن به اندازه استاندارد (۴ میکرون)، نمونه‌ها را مجدداً در هاون آسیاب



تصویر ۱۵- نتایج آنالیز XRD نمونه سنگ آهک آهک Gy، Ca: کلسیت، Qz: کوارتز، Do: دولومیت



تصویر ۱۶- نتایج آنالیز XRD نمونه سنگ آهک آهک Ga2، Ca: کلسیت، Do: دولومیت، Qz: کوارتز



تصویر ۱۷- نتایج آنالیز XRD نمونه سنگ آهک Ga1، Ca: کلسیت، Do: دولومیت، Qz: کوارتز

کربناته، مطابق با استاندارد (ISRM 1977)، آزمون‌های تعیین

خصوصیات فیزیکی شامل درصد رطوبت، دانسیته خشک، وزن مخصوص قسمت جامد و درصد تخلخل انجام شد، نتایج در جدول ۳ آورده شده است. از میانگین نتایج برای توصیف خصوصیات فیزیکی نمونه‌ها بر اساس رده بندی ISRM استفاده شد که نتایج در جدول ۴ آورده شده است.

کارستی شدن با ویژگی‌های فیزیکی سنگ‌ها نیز ارتباط مستقیم دارد. ویژگی‌های فیزیکی مانند درصد تخلخل، در ایجاد کارست و میزان گسترش آن نقش مهمی ایفا می‌کنند. بیشترین میزان تغییرات در قابلیت انحلال سنگ‌های کربناته، در ارتباط با طبیعت، اندازه و نوع حفرات موجود در آنها می‌باشد که معرف تخلخل سنگ است (Ford & Williams 2007). به همین منظور برای ۱۰ نمونه از سنگ‌های

۲-۲-۲- ویژگی‌های فیزیکی

جدول ۳- خصوصیات فیزیکی نمونه‌های مورد مطالعه

تخلخل (%)	دانسیته خشک (g/cm³)	وزن مخصوص (G _s)	درصد رطوبت (%)	شماره نمونه
۰/۹۷	۲/۶۵۶	۲/۶۸	۰/۰۷۵	Gy1
۰/۶۳	۲/۶۸۹	۲/۷	۰/۰۷۴	Gy2
۰/۷۳	۲/۶۸۱	۲/۷	۰/۱۱	Gy3
۰/۸۶	۲/۶۷	۱/۸۶	۰/۰۸۲	Gy4
۰/۲۱	۲/۸۷	۲/۸۸	۰/۰۱	Ga1-1
۰/۱۱	۲/۸۸	۲/۸۸۳	۰/۰۲	Ga1-2
۰/۱۴	۲/۸۵	۲/۸۵۴	۰/۰۲۵	Ga1-3
۲/۷۵	۲/۴	۲/۴۶	۱/۶۶	Ga2-1
۲/۵۸	۲/۳۵	۲/۴۱	۱/۲۷	Ga2-2
۲/۴۲	۲/۳۸	۲/۴۴	۱/۶۸	Ga2-2

جدول ۴- میانگین نتایج خصوصیات فیزیکی و توصیف آنها بر اساس رده بندی ISRM 1977

ردیف	محل نمونه	دانسیته خشک (g/cm ³)	توصیف	تخلخل (%)	توصیف	توصیف
۱	گاماسیاب (۱)	۲/۸۶	خیلی بالا	۰/۱۵۳	خیلی پائین	
۲	گاماسیاب (۲)	۲/۳۷	متوسط	۲/۰۵۸	پائین	
۳	گیان	۲/۶۷۴	بالا	۰/۰۷۹	خیلی پائین	

۱۳- بهث

و عوارض کارستی به صورت فروچاله‌ها، غارها، چشم‌های کارستی، پونورها، چاه‌های کارستی، اشکال برجی، حفرات انحلالی، پنجره‌های کارستی و انواع کارن‌ها قابل مشاهده می‌باشدند. فراوانی این پدیده‌ها، نشان‌دهنده‌ی توسعه کارست در منطقه می‌باشد. می‌توان گفت که چشم‌اندازهای کارستی در منطقه، ناشی از فرایندهای مورفو‌دینامیکی درونی و بیرونی در طی زمان است. از مهم ترین عوامل درونی مؤثر در شکل‌گیری پدیده‌های کارستی، تکتونیک شدید و لیتولوژی کربناته می‌باشد. مؤثرترین عوامل بیرونی در ایجاد کارست، اقلیم، ارتفاع زیاد و زمان است. در واقع وجود تکتونیک فعل در منطقه موجب توسعه شکستگی‌ها شده و گسترش سنگ‌های انحلال پذیر نیز موجب شکل‌گیری انواع متنوعی از اشکال کارستی گردیده است.

۴- نتیجه‌گیری

بر اساس مشاهدات صحرایی، واحدهای کربناته در منطقه گسترش زیادی دارند. آب و هوای منطقه سرد و خشک بوده و ناحیه از نظر تکتونیکی فعال می‌باشد. ساختاری‌های تکتونیکی مانند گسل‌ها و انواع شکستگی‌ها فراوان هستند و بیشترین توسعه کارست در امتداد شکستگی‌های کششی رخ داده است. انواع پدیده‌های ژئومورفولوژیکی کارست مانند فروچاله‌ها، غارها، چشم‌های کارستی، پونورها، چاه‌های کارستی، اشکال برجی، حفرات انحلالی، پنجره‌های کارستی و انواع کارن‌ها در ناحیه قابل مشاهده است. چشم‌های منطقه از نظر وضعیت آبدی دائمی بوده و از نظر مکانیسم تشکیل، جزء چشم‌های گسله محسوب می‌شوند. این چشم‌ها که زهکش‌های اصلی محسوب می‌شوند در توسعه کارست نیز نقش عمده‌ای دارند. بر اساس مطالعات آزمایشگاهی، درصد اکسید کلسیم و اکسید منیزیم سنگ‌های کربناته به ترتیب بیش از ۵۰ درصد و حداقل ۲/۴۷ درصد و کلسیت فراوانترین کانی موجود در واحدهای سنگی مذکور می‌باشد. با توجه به تخلخل پائین سنگ بکر، کارستی شدن ناشی از تخلخل ثانویه است. بنابراین با توجه به گسترش سنگ‌های کربناته، ترکیب مناسب سنگ‌شناسی واحدهای آهکی، تخلخل ثانویه توده‌های سنگی و فراوانی چشم‌اندازهای کارستی که به صورت سطحی و زیر سطحی در منطقه، پدیده‌های ژئومورفولوژیکی کارست به خوبی شکل گرفته

نفوذپذیری و قابلیت انحلال توده‌های سنگی، دو عامل مهم در ایجاد و توسعه کارست محسوب می‌شوند. مهم ترین عامل هدایت آب در سنگ‌های کربناته، شکستگی‌ها هستند. شکستگی‌ها، موجب نفوذ نزولات جوی به درون سنگ‌ها می‌شوند و حضور آب باعث فراخ‌تر شدن درزو شکاف‌ها شده که در نهایت باعث گسترش کارستی شدن در جهت عمودی، افقی و مایل می‌شود (رضایی، ۱۳۷۷، کریمی ۱۳۸۹ و قبادی ۱۳۸۸). گسله بودن و شکستگی‌های زیاد (به صورت عمود و به موازات لایه بندی قرار دارند) در منطقه مورد مطالعه، زمینه را برای شکل‌گیری غار فراهم نموده است (غار گاماسیاب).

وجود شکستگی‌های عمودی (فرام نمودن شرایط مناسب برای حرکت آب) با شبیه هیدرولیکی قائم در منطقه، موجب تشکیل چاه‌های کارستی عمودی شده که نمونه‌های آن در بازدیدهای صحرایی مشاهده گردید. پیشرفت عمل حل شدن در این نقاط، ممکن است در نهایت منجر به تشکیل غارهای کارستی گردد (کنگی و همکاران، ۱۳۸۹). وجود سیستم درزه‌های کششی موجب تفکیک بلوك‌های سنگی شده که توسعه این درزه‌ها افزایش تخلخل ثانویه توده سنگ را در پی داشته است.

آبخوان‌های کارستی مناسب در منطقه که سراب‌های متعددی را تغذیه می‌کنند، بر تخلخل ناشی از شکستگی (تخلخل ثانویه) و نفوذپذیری زیاد توده‌های کربناته دلالت دارند. ترکیب مناسب سنگ‌شناسی واحدهای کربناته نشان داد که با توجه به فراوانی ساختارهای تکتونیکی، شرایط مناسبی برای توسعه کارست در منطقه موجود است. مطالعه مقاطع نازک سنگ، تخلخل حفره‌ای زیاد و شکستگی‌های پر شده از کلسیت را در منطقه نشان داد. در نمونه‌های مورد آزمایش، مقدار CaO بیش از ۵۰ درصد MgO کمتر از ۲/۵ درصد محاسبه گردید. از نظر ترکیب کانی شناسی، فراوان ترین کانی موجود کلسیت می‌باشد که این شرایط نشان دهنده درجه خلوص سنگ‌های کربناته است و با توسعه کارست در منطقه نیز هم‌خوانی دارد.

testing from karstic features in a porous limestone", *Journal of Hydrology*, Vol. 389 (1-2): 31-41.

Veni, G., 1999, "A Geomorphological Strategy for Conducting Environmental Impact Assessments in Karst Areas", *Geomorphology*, Vol. 31 (1): 151-180.

Waele, J.D., Plan, L. & Audra, P., 2009, "Recent developments in surface and subsurface karst geomorphology: An introduction", *Geomorphology*, Vol. 106 (1-2): 1-8.

وجود دارند، کارست در منطقه گرین شهرستان نهادن توسعه یافته است.

مراجع

سلیمی، س.، ۱۳۸۸، "بررسی زمین‌شناسی مهندسی سنگ آهک‌های جنوب و جنوب شرق همدان"، پایان نامه کارشناسی ارشد، دانشگاه بوعالی سینا.

رضایی، م. و زمانی، ا.، ۱۳۷۷، "ارتباط سیستم ساختمانی و کارست شدگی"، مجموعه مقالات دومین سمپوزیوم بین‌المللی منابع آب کارست در ایران، تهران.

کریمی، و.ح.، ۱۳۸۹، "درآمدی بر توسعه کارست در منطقه جنوب غرب ایران"، نخستین کنفرانس ملی پژوهش‌های کاربردی منابع آب ایران، ۲۱-۲۳ اردیبهشت ۱۳۸۹، اداره آب منطقه‌ای کرمانشاه.

کنگی، ع.، رهنمازاد، ج. و درزاده، ح.، ۱۳۸۹، "نقش شکستگی‌های فصل مشترک در فرار آب از زیر پی سد خلیفان و روش آب بندی آن"، فصلنامه زمین‌شناسی کاربردی دانشگاه آزاد، سال ۶ (۴): ۳۰۳-۳۱۵.

قبادی، م.ح.، ۱۳۸۸، "زمین‌شناسی مهندسی کارست"، انتشارات دانشگاه بوعالی سینا، چاپ دوم.

موسیوند، م. ص.، ۱۳۸۵، "مطالعه زمین‌شناسی مهندسی ساختگاه سد گرین نهادن"، پایان نامه کارشناسی ارشد، دانشگاه بوعالی سینا.

وزارت نیرو، شرکت سهامی آب منطقه‌ای غرب، ۱۳۸۴، "گزارش مطالعات ردیابی طرح سد مخزنی گرین"، مهندسین مشاور گمانه کاو.

Cooper, A. H., Farrant, A. R. & Price, S. J., 2011, "The use of karst geomorphology for planning, hazard avoidance and development in Great Britain", *Geomorphology*, Vol. 134 (1-2): 118-131.

Folk, R. L., 1959, "Practical petrographic classification of limestones", *American Association of Petroleum Geologists Bulletin*, Vol. 43 (1): 1-38.

Ford, D. C., Williams, P., 2007, "Karst Hydrogeology and Geomorphology", John Wiley & Sons, 576 pp.

Heidari, M., Khanlari, G. R., Taleb Beydokhti, A. R. & Momeni, A. A., 2011, "The formation of cover collapse sinkholes in North of Hamedan, Iran", *Geomorphology*, Vol. 132 (3-4): 76-86.

International Society for Rock Mechanics, ISRM, 1977, "SM for Determining Water Content, Porosity, Density, Absorption and Related Properties and Swelling and Slake-Durability Index Properties", available in: (<http://www.isrm.net/gca/?id=177>, 2012/02/16)

Maurice, L., Atkinson, T. C., Williams, A. T., Barker, J. A. & Farrant, A. R., 2010, "Catchment scale tracer